

ساختمان اتمی کریستال کش شده و اثرات کانالی در کشت یونی

داربیوش فتحی، گروه مواد هسته‌ای
احمد رشیدی نیا، گروه فیزیک پلاسمای
سازمان انرژی اتمی ایران

چکیده

تغییرات ساختمان اتمی کریستال سیلیکون (Si) بعد از برخورد یونهای بیسموت (Bi) در این مقاله مورد بررسی قرار گرفته است. مشاهداتی از اثرات برخورد یون‌ها با کریستال مورد کشت، در قسمت‌هایی از کریستال که در آنها برخوردهای متواالی (cascade) و subcascade می‌باشد و صورت گرفته نشان داده شده است. ناحیه‌هایی از کریستال که تعدادی از این برخوردهای متواالی برهم منطبق شده‌اند، دارای مرکزی غیر کریستالی آمرف (Amorphous) می‌باشند و نواحی محصور آن با بهم خوردگی‌هایی با چگالی زیاد می‌باشند. نتایج بدست آمده با مدل‌های (simulation) که برای تخریب یونهای با انرژی مشابه محاسبه شده است در این مقاله مورد مقایسه قرار گرفته است. اثرات کاشت در جهت کانالی و غیرکانالی بر روی انرژی تبادلی بین یونها و کریستال نیز نشان داده شده است.

باشد تغییر مکان اتمهای نمونه صورت می‌گیرد.

تعداد اتمهای جایجا شده بوسیله یک یون برخوردی با انرژی زیاد بوسیله رابطه $E_D = \frac{KE_D^2}{2E_D}$ برای $E_D = \frac{2E_D}{K}$ بدست می‌آید که K بارده جایجایی می‌باشد. مقدار E_D برابر $12eV$ برای سیلیکون می‌باشد.

همانطور که در جدول ۱ نشان داده شده است نسبت مقدار تخریب اتمی با انرژی یونهای تابشی رابطه معکوس دارد. بطوریکه درصد تخریب با ازدیاد انرژی یونها کم می‌شود. همین‌طور مقدار تخریب با کم شدن جرم یونها کم می‌شود و بالاخره عمق نفوذ یونها با انرژی اولیه یونها نسبت مستقیم دارد. در صورتیکه تبادل انرژی بین یونها و

مقدمه

یونهای انرژی دار در موقع کشت میتوانند از سطح مورد کشت نمونه داخل شده و انرژی خود را بوسیله برخورد با الکترونها و هسته‌اتمهای (Nuclei) نمونه مورد کشت از دست بدهند. این انرژی نهایتاً تبدیل به انرژی حرارتی در نمونه می‌شود. اگر انرژی اولیه را E_T فرض کنیم این انرژی بدو قسم تقسیم می‌شود: اول انرژی یونیزه شدن نمونه E_i که همان انرژی می‌باشد که صرف تحریک کردن الکترون‌ها می‌شود و دیگر انرژی مصرفی برای تغییر مکان اتمهای جایجا شده E_D ، در اینجا رابطه انرژی را میتوان بصورت $E_T = E_D + E_i$ نوشت. اگر مقدار انرژی E_D بزرگتر از E_i ، انرژی لازم برای از جا کنند یکاتم،

داریوش فتحی و احمد رشیدی نیا . ساختمان اتمی کریستال کشت شده

جدول ۱- خلاصهای از پارامترهای کشت یونی که محاسبه شده‌اند را نشان میدهد . اعداد این جداول با استفاده از برنامه EDEP-1 مذکور در منبع ۱ بدست آمده است . برای ارزی اولیه یونهای کاشت شده مقادیر عمق نفوذ و اثرات آماری استراکلیک (Straggling Damage) محاسبه شده است .

نوع یون	انرژی (KeV)	انرژی تخریب (%)	محل ماقزیم A°	ΔRp A°	عمق نفوذ A°	انرژی (KeV)	نوع یون
$^{28}\text{Si}^+$	۱۰/۶۸	۷۶/۳	۱۲	۹۹	۲۰۲	۱۴	$^{11}\text{B}^+$
	۱۷/۴۰	۶۲/۱	۹۰	۱۲۴	۳۷۹	۲۸	
	۲۲/۱۲	۵۲/۴	۳۰۰	۲۱۰	۷۴۶	۵۶	
	۶۲/۶۷	۴۴/۸	۱۱۵۰	۶۳۱	۱۹۱۰	۱۴۰	
	۷۸/۸	۳۹/۸	۱۸۳۰	۷۹۹	۲۲۵۲	۲۰۰	
$^{75}\text{As}^+$	۵/۸۵	۵۳/۲	۱۱۰	۲۰۶	۴۲۸	۱۱	$^{121}\text{Sb}^+$
	۹/۹۸	۴۵/۴	۴۲۰	۳۵۰	۸۷۱	۲۲	
	۱۷/۸۴	۳۲/۴	۱۵۰۰	۶۶۷	۲۲۱۷	۵۵	
	۲۲/۸۴	۲۲/۸	۲۸۸۰	۹۳۷	۳۹۲۲	۱۰۰	
	۳۰/۷۵	۱۵/۴	۶۰۰۰	۱۲۵۹	۷۱۶۱	۲۰۰	
^{66}Ge	۲۷/۴	۷۲/۲	۰	۹۶	۲۵۶	۳۸	$^{208}\text{Bi}^+$
	۴۹/۹۲	۶۶/۶۰	۷۰	۱۶۸	۴۵۴	۷۵	
	۶۳/۶۳	۶۳/۶	۱۳۰	۲۱۳	۵۸۴	۱۰۰	
	۸۹/۳۰	۵۹/۵	۲۸۰	۳۰۲	۸۴۶	۱۵۰	
	۱۷۱/۵۶	۴۵/۷	۱۱۵۰	۶۶۹	۲۰۸۴	۳۷۵	
$^{121}\text{Sb}^+$	۴۳/۸۹	۷۳/۲	۰	۹۷	۳۰۸	۶۰	$^{208}\text{Bi}^+$
	۷۹/۹۵	۶۶/۱	۴۰	۱۶۵	۵۲۹	۱۲۱	
	۱۲۲/۸۲	۶۱/۴	۲۰۰	۲۴۹	۸۰۵	۲۰۰	
	۱۴۳/۹۱	۵۹/۵	۳۴۰	۲۹۲	۹۵۱	۲۴۲	
$^{208}\text{Bi}^+$	۲۵/۴۸	۷۰/۴۶	۰	۶۰	۲۴۲	۵۰	$^{208}\text{Bi}^+$
	۶۸/۴۰	۶۸/۴	۰	۹۸	۳۹۴	۱۰۰	
	۱۳۳/۳۴	۶۴/۱۱	۰	۱۶۸	۶۷۷	۲۰۸	
	۲۸۶/۶۴	۵۷/۳۳	۴۵۰	۲۳۵	۱۳۶۳	۵۸۸	

امتیای نمونه مورد کشت طوری باشد که انرژی داده شده E_D بیشتر از ده برابر E_d باشد ، این اتمهای ثانویه بنویه خود قابلیت تغییر مکان دیگر اتمها را بیدا میکنند و یک حالت برخورد متوالی (cascade) بوجود میآید . یونهای ثانویه با انرژی کم بین ۱-۵ KeV دارای جرم زیادی هستند قادرند مقدار

شرط‌آزمایش

کریستال‌های سیلیکون با جهات مختلف کریستالی (110) و (100) مورد کاشت یون‌های Bi^{208} یا انرژی‌های 100 keV و 50 keV و دزهای متفاوت از $10^2 \text{ eV/cm}^2/\text{atom}$ تا $10^4 \text{ eV/cm}^2/\text{atom}$ تمام مدت تابش، کریستال‌های سیلیکون در دمای نیتروژن مایع (LN_2) و هلیوم مایع (LHe) قرار گرفته بودند. ضخامت نمونه‌ها برای انجام مشاهدات میکروسکوپی ابتدا بوسیله صیقل مکانیکی بضخامت $10 \mu\text{m}$ میکرومتر و سپس با صیقل آرگون بضخامت 100 Å کاهش داده شدند. میکروسکوپ مورد استفاده از نوع الکترون ولت کار کرده و دارای قدرت تفکیک الکترون ولت کار کرده و دارای قدرت تفکیک (lattice resolution) $1/4 \text{ Å}$ میباشد.

یافته‌ها و بررسی آنها

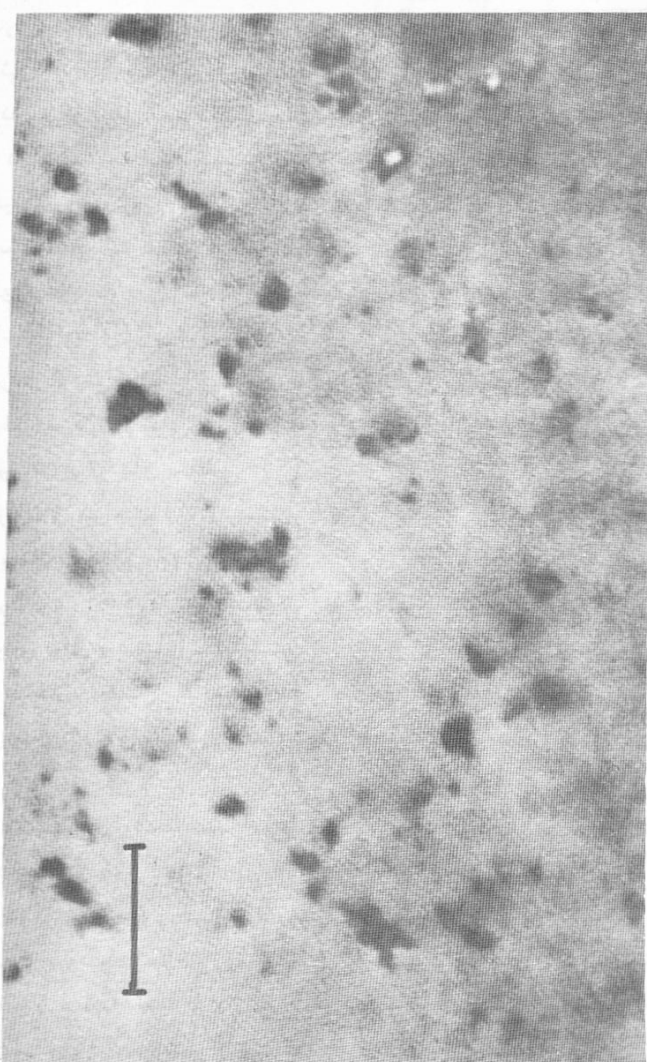
شکل ۱ تصویر الکترونی نواحی برخوردهای است که با کاشت یون‌های بیسموت بالانرژی 100 keV و با دزی برابر $10^2 \text{ eV/cm}^2/\text{atom}$ ایجاد شده است. در این آزمایش زاویه بین یون‌های کاشت وجهت صفحات کریستال (110) برابر 7° بوده است و این برخوردها بصورت نقاط سیاه رنگ در شکل ۱ مشاهده میشوند. اندازه این نواحی در حدود 40 Å میباشد و تعداد این نواحی در حدود $5 \times 10^{11} \text{ cm}^{-2}/\text{atom}$ میباشد تعداد این نواحی برای نمونه‌هایی که در جهت کریستالی (110) کاشت شده‌اند ده برابر کمتر از جهت‌های غیرکانالی آنها میباشد.

شکل ۲ نماینده یک تصویر الکترونی با قدرت تفکیک زیاد میباشد که نواحی آموف را نشان میدهد. در این تصویر زنجیره اتم‌هایی که درجهت (110) میباشدند نشان داده شده‌اند. این زنجیره‌های اتمی که هر نقطه‌آن تصویر دو اتم مجاور سیلیکون میباشد در تمام تصویر بصورت مرتب در دنباله هم دیده

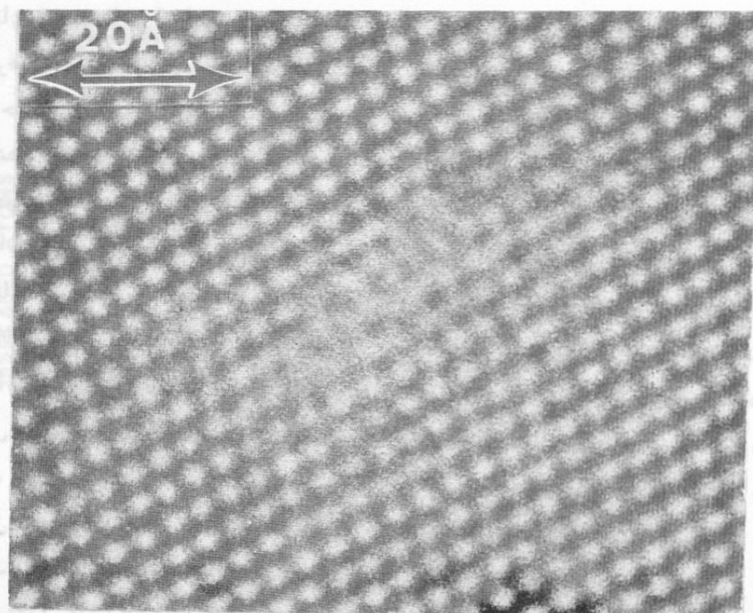
12 eV یا بعارت دیگر $22 \text{ eV/cm}^3 \times 10^2$ لازم را بجا بگذارند. اتصال این نواحی جاچائی نهایتاً باعث آموف شدن یک کریستال میشود. کشت یونی بکی از مهمترین مراحل در تولید وسائل الکترونیک در صنعت میکروالکترونیک میباشد. اصولاً "کشت یونی‌هایی که دارای یک انرژی ثابت میباشدند در یک نمونه غیرکریستال آموف باعث پخش گوسی از آنها در ماده کشت شده میشود. در کریستال‌ها مقدار تخریب و این توزیع بستگی زیادی به جهت یونی‌های تابشی نسبت به محور صفحات و شبکه اتمی و کانال‌های موجود در بین اتمها دارد. بنابراین در موقع کاشت زاویه‌ای برای ورود یون‌ها باین کانال‌ها باید در نظر گرفت که این زاویه به بار اتمی Z_1 یون‌های کاشت شده، بار اتمی Z_2 ماده مورد کاشت و همینطور انرژی یون‌های تابشی (E) بستگی دارد (۲). زاویه‌ای که تحت آن یون‌هادر طول کانال‌ها جریان پیدا میکنند (channeling) بوسیله رابطه $(Z_1, Z_2/E)^{1/2}$ داده میشود. در صورتیکه زاویه ورودی برای یون‌های تابشی کوچکتر از این مقدار باشد، پخش با آنچه در ساختمان آموف اتفاق میافتد فرق زیادی خواهد داشت.

این نوع اطلاعات که بستگی زاویه با جنس یون‌های تابشی و مقدار تخریب (damage) در کریستال‌ها را میدهد در تعیین محل و خواص مرز P-N بوسیله کشت بکار میبرود و در ساختن وسائل نیمه‌هادی بسیار مهم و لازم میباشد. در این مقاله مشاهداتی بوسیله میکروسکوپ الکترونی از نوع عبوری (T.E.M) انجام شده و ساختمان اتمی نواحی برخورد مورد مطالعه قرار گرفته است. اثرات کاشت یونی بطور نظری و تجربی مورد بررسی قرار گرفته و نتایج کانالیزه شدن در پخش یون‌ها و اثر تخریب آنها نشان داده است.

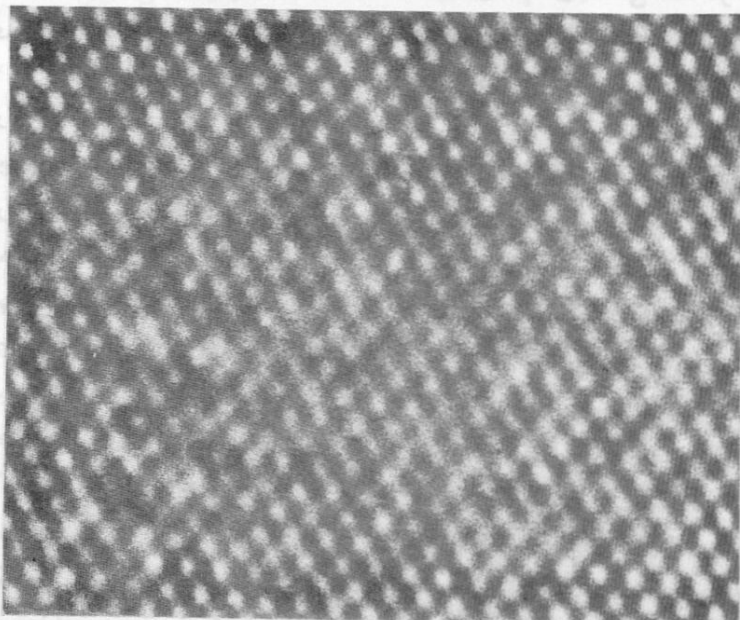
داریوش فتحی و احمد رشیدی نیا . ساختمان اتمی کریستال کشت شده .



شکل ۱- تصویر الکترونی های عبوری از نمونه کشت شده بوسیله یون های بیسوموت



الف



ب

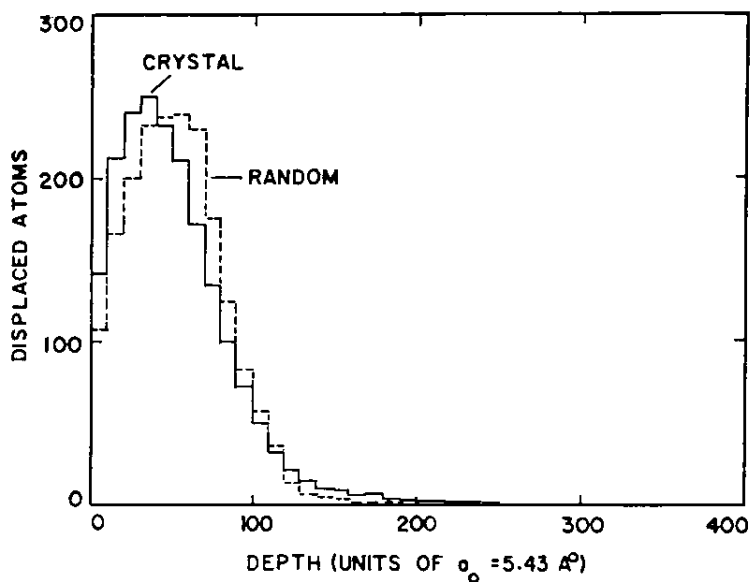
شکل ۲ (الف و ب)- تصویر الکترونی با قدرت تفکیک زیاد از نواحی آمرف شده.

صورتیکه انرژی بیشتر از انرژی لازم E_{kin} (۱۲ eV) است دریافت کند بوسیله برنامه دنبال شده تا انرژی آن به زیر ۱۲ eV برسد . در شکل ۳ تعداد اتم‌های جابجا شده بصورت تابعی از عمق برای اتم‌های بیسوموت با انرژی 100 keV داده شده و مقایسه‌ای بین اتم‌هایی که بیک مانع کریستالی و یک مانع آمرف خورده‌اند نمایانده شده است . برای اینکه اثرات کانالی شدن یون‌ها مینیمم باشد زاویه بزرگتر از حد (یعنی 7° درجه) نسبت به عمود صفحات (۱۱۰) سطح کریستال انتخاب میگردد . مقدار زاویه حدی که از رابطه نظریه کانالی لیندهارد بدست می‌آید برای این جهت $4/5^\circ$ درجه میباشد . توافق دو منحنی در شکل ۳ با تقریب خوبی میباشد و منحنی اتم‌های جابجا شده بخوبی با حدود ۲% برابر دارند . در دنباله منحنی اختلاف کمی وجود دارد که نمایانگر تعدادی اتم‌های کانالی شده در کریستال در عمق‌های زیادتر از معمول میباشد . شکل ۴ نشان میدهد که چطور تعداد اتم‌های جابجا شده بیسوموت به جهت تابش آن در یک کریستال بستگی دارد .

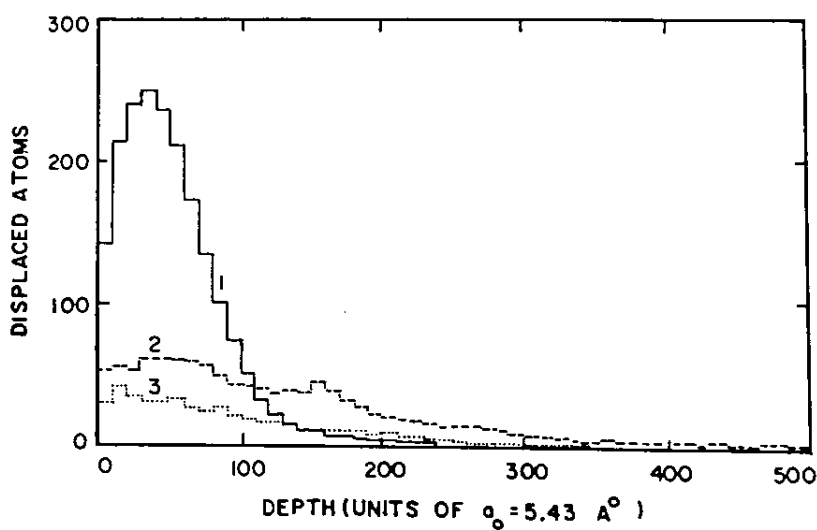
منحنی ۱ شکل ۴ مشابه منحنی ارائه شده در شکل ۳ میباشد که در آن زاویه $\theta = 7^\circ$ میباشد این زاویه همانطوریکه قبلاً "کفته شد بیشتر از زاویه حد در نظر گرفته شده است . در سه منحنی داده شده زاویه پولار (نسبت به محور ۱۱۰) طوری انتخاب شده که خواص کانالی شدن را بخوبی مقایسه کند . در منحنی ۲، زاویه $\theta = 3^\circ$ و $\phi = 15^\circ$ و در منحنی ۳، زاویه $\theta = 0^\circ$ و $\phi = 0^\circ$ انتخاب شده است . زاویه ϕ مقدار انعکاس از محورهای اصلی دیگر را مشخص میکند و از سطح (۱۱۰) اندازه‌گیری شده است . در اینجا زاویه پخش اشعه $\theta = 25^\circ$ میباشد . با مقایسه دو منحنی ۲ و ۳ همانطوریکه مشاهده میشود حرکت کانالی یونهای تابشی مقدار تخریب را بسیار کم میکند . این اثرات بر روی منحنی تخریب بر دو نوع میباشد : اول

میشوند ، باستثنای قسمت‌هایی که این نظم در اثر برخورد از بین رفته است . در این شکل ، یک ناحیه بزرگتری بهمین حالت نشان داده شده است . همانطوریکه مشاهده میشود نظم رشته‌های اتمی در مجاورت این ناحیه تا اندازه‌ای از بین رفته و عدم واضح تصویر در این نواحی باین علت میباشد . در قسمت زیر محاسبات این تخریب که بوسیله برنامه مارلو (Marlowe) بدست آمده (۳) ، داده میشود که در آن جهت تابش نسبت به صفحات کریستالی و اثرات آن در روی مقدار تخریب محاسبه شده است . استفاده از برنامه مارلو در محاسبات کاشت یونی برای محاسبه عمق نفوذ و انرژی یون‌ها در عمق‌های مختلف بسیار منداول است . نتایج نشان میدهد که در جهات کانالی مقدار قله (peak) میزان خرابی کم و انتگرال انرژی داده شده ب Maddie کم شده است و یک تثییر بزرگ در جهت ازدیاد عمق کاشت بوجود آمده است . کانالی شدن یون‌ها با کم شدن انرژی آنها بیشتر میشود و زاویه حد این کانال‌ها با کم شدن انرژی بزرگتر میشود .

از آنجائی که در صنعت تولید دستگاه الکترونیکی از انرژی‌های کم برای تولید سطوح‌های مرز P-N نزدیک بسطح نمونه باید استفاده شود ، مطالعه این اثر در ایجاد خرابی و عمق بسیار مهم است . در برنامه مارلو که برای برخوردهای اتمی طرح شده برخورد الاستیک در نظر گرفته شده است و تغییر مکان و حرکت یون‌ها طبق محاسبه لیندھارد کانالی (Lindhard) در آن گنجانیده شده است (۴) . در سیلیکون اغلب اعمال جابجائی اتم بوسیله برخوردهای الاستیک صورت میگیرد و این برخوردها دنبال میشوند تا یون‌ها انرژی خود را از دست بدهند . در این برنامه انرژی یون‌های بیسوموت در هر برخورد در نظر گرفته شده و دنبال میشوند تا بحال سکون در آیند . بعلاوه هر اتم سیلیکون در



شکل ۳- اختلاف عمق نفوذ و تعداد اتم‌های جابجا شده برای دو حالت پراکنده (random) و کریستالی که تحت زاویه 7° درجه کشته شده است.



شکل ۴- منحنی اتم‌های جابجا شده بر حسب زاویه‌های تابش (واحد عمق $\alpha = 5/43 \text{ Å}^\circ$)

شده است که در آن تعداد اتمهای جابجا شده و میانگین عمق نفوذی یونها برحسب زاویه تابشی آنها نشان داده شده است .

همانطوریکه از این جدول نتیجه گیری میشود، موقعیکه یونها در کanal حرکت میکنند تعداد اتمهای جابجا شده به ۲۵٪ کاهش پیدا میکند . در صورتیکه عمق متوسط نفوذی μ برابر میشود برای تغییر زاویه های بین 0° - 7° مقدار ماکریم خربی ده برابر کوچکتر میشود .

نتیجه گیری

بوسیله استفاده از میکروسکوپ الکترونی T.E.M میتوان تصویری از تغییر مکانهای متواالی که تولید نواحی آمرف و نهایتا "کریستالی را به ماده آمرف تبدیل میکنند مشاهده کرد که نتایج فوق اهمیت کنترل روی جهت یونهای کاشت را برای دقت عمل در تولید سطح کاشت در مدارهای الکترونیکی نشان میدهد .

کم شدن مقدار قله یا ماکریم منحنی تخریب و دوم بیشتر شدن عمق ماکریم منحنی .

برایجاد تخریب در موقعیکه یونها در کanalها حرکت میکنند چند دلیل وجود دارد .

۱- تعدادی از یونها بعلت برخورد با اتمهای سطحی در کanal قرار نمیگیرند ، ۲- بعضی از یونها بوسیله ارتعاشات حرارتی قبل از اینکه بسکون در بیانند از کanalها خارج میشوند و ۳- در حالت هائیکه نسبت بین جرم یونی کاشت و جرم اتم نمونه زیاد است ممکن است بدون آنکه یون از مسیر حرکتی خود خارج شود تغییر مکانهای انجام بشود . بعنوان مثال برای یونهای بیسموت با انرژی 10 KeV در اثر از دستدادن انرژی برابر 12 eV انرژی، فقط پرتو تابشی تحت زاویه ای کمتر از 1° منحرف میشوند، با این صورت عمق نفوذی بیشتر از آنچه در یک نمونه آمرف پراکنده (random) بدست می آید بوجود می آید .

در جدول ۲ خلاصه ای از مطالب فوق الذکر درج

جدول ۲- تعداد اتمهای جابجا شده و میانگین عمق نفوذی یونها

انرژی برحسب (KeV)	جهت تابش یونها $0^{\circ} \phi$	زاویه پهنی پرتو	تعداد اتمهای جابجا شده	عمق نفوذی
۱۰۰	۷ ۰	۰	۱۹۵۴	۹۵۵
	۳ ۱۵	۰۲۵	۱۱۲۹	۲۸۷۸
	۰ ۰	۰۵۰	۴۹۱	۵۶۶۵
	زاویه نامشخص		۱۹۱۶	۴۵۳

References

1. I. Manning and G.P. Mueller, Comp. Phys. Commun. 1, 85 (1974).
2. O.S. Oen and M.T. Robinson, App. Phys. Letters 2, 83 (1963).
3. M.T. Robinson, Phys. Rev. B27, 5347 (1983).
4. J. Lindhard, M. Scharff and H.E. Schiott, Selskab Mat. Physics. Medd. No. 14 33, (1963).

ATOMIC STRUCTURE OF ION-IMPLANTED SILICON AND CHANNELING EFFECTS

D. Fathy and A. Rashidinia
Materials Department
Atomic Energy Organization of Iran
Tehran-Iran

Abstract

We have investigated the atomic structures of collision cascades in Bi⁺-implanted silicon. The formation of subcascades or bunching of the primary cascades is clearly observed. The central regions of the cascades were found to be amorphous with a high density of disorder in the surrounding regions. The experimental results are discussed in terms of the computer simulation of the deposited damage energy profiles. The effect of channeling on the deposited damage energy profile is examined. The peak and integrated damage energies are considerably lower in channeling directions compared to random directions.